

تعیین بهینه تولید و مکان و اندازه بهینه ادوات FACTS به منظور حذف تراکم خطوط

^۳

سعید توکلی افشار

^۲

سید مسعود برکاتی

^۱

ابراهیم حجتی نجف آبادی

۱- دانشآموخته کارشناسی ارشد- دانشکده مهندسی برق و کامپیوتر- دانشگاه سیستان و بلوچستان- زاهدان- ایران

ebrahim.hojjati@gmail.com

۲- استادیار- دانشکده مهندسی برق و کامپیوتر- دانشگاه سیستان و بلوچستان- زاهدان- ایران

smbaraka@ece.usb.ac.ir

۳- دانشیار- دانشکده مهندسی برق و کامپیوتر- دانشگاه سیستان و بلوچستان- زاهدان- ایران

tavakoli@ece.usb.ac.ir

چکیده: کاربرد سیستم‌های انتقال جریان متناوب انعطاف پذیر (FACTS) نشان می‌دهد که این ادوات می‌توانند پارامترهای فنی سیستم انتقال را به طور موثری کنترل نمایند. اما، تعیین مکان و اندازه بهینه آنها مساله مهمی است و معمولاً برای حل این مساله نمی‌توان از روش‌های تحلیلی استفاده کرد. یک روش برای حل این قبیل مسائل استفاده از الگوریتم‌های بهینه سازی تکاملی است. اما کارایی این الگوریتم‌ها وابستگی شدیدی به تابع هدف تعريف شده، دارد. در این مقاله، دو الگوریتم بهینه سازی چند هدفه به نام‌های: الگوریتم ژنتیک با مرتب سازی نامغلوب (NSGA-II) و بهینه سازی اجتماع ذرات چند هدفه (MOPSO) به منظور حل مساله تراکم در خطوط انتقال سیستم قدرت استفاده شده است. به منظور بررسی کارایی روش پیشنهادی، شبیه سازی‌ها روی سیستم‌های تست ۱۴ و ۳۰ با سه اصلاح شده، انجام گردیده است. ابتدا بار سیستم به صورت یکنواخت افزایش داده شده تا تراکم ایجاد شود. سپس الگوریتم‌های بهینه سازی برای یافتن مکان و اندازه بهینه ادوات FACTS و همچنین میزان بهینه تغییر در توان اکتیو تولیدی ژنراتورها، استفاده شده اند. دو نوع ادوات FACTS به نام‌های جبرانساز استاتیک توان راکتیو (SVC) و خازن سری کنترل شونده با تریستور (TCSC) برای حذف تراکم به کار برده شده اند. نتایج بدست آمده کارایی توابع هدف پیشنهادی را نشان می‌دهند.

کلمات کلیدی: سیستم‌های انتقال جریان متناوب انعطاف پذیر (FACTS)، الگوریتم ژنتیک با مرتب سازی نامغلوب (NSGA-II)، بهینه سازی چند هدفه اجتماع ذرات (MOPSO)، جبرانساز استاتیک توان راکتیو (SVC)، خازن سری کنترل شونده با تریستور (TCSC)

تاریخ ارسال مقاله: ۱۳۹۲/۱/۱۵

تاریخ پذیرش مشروط: ۱۳۹۲/۰۸/۲۰

تاریخ پذیرش مقاله: ۱۳۹۳/۰۲/۲۷

نام نویسنده‌ی مسئول: دکتر سید مسعود برکاتی

نشانی نویسنده‌ی مسئول: ایران - زاهدان - خیابان دانشگاه - دانشگاه سیستان و بلوچستان - دانشکده برق و کامپیوتر



۱- مقدمه

اجتماع ذرات برای حل مساله برنامه ریزی مجدد به کار گرفته شده است [۵].

مدیریت تراکم با استفاده از تعیین بهینه مکان و اندازه تولیدات پراکنده در [۶-۹] مورد توجه قرار گرفته است. برای در نظر گرفتن تاثیرات عدم قطعیت سیستم روی تعیین مکان و اندازه بهینه تولید پراکنده، از روش شبیه سازی مونت کارلو در [۶] استفاده شده است. در [۷] اندیس نسبت مزیت به هزینه (BCR) که عبارتست از نسبت بین مزیت و هزینه نصب منابع پراکنده تعریف شده است و هدف، ماکریم شدن اندیس BCR است. تعیین مکان و اندازه بهینه تولید پراکنده برای مدیریت تراکم در [۸] به صورت یک برنامه ریزی مختلط عدد صحیح (MIP) فرمول بندی شده است که هدف اصلی، کاهش هزینه کل تولید است. تعیین مکان بهینه تولید پراکنده، با توجه به قیمت گذاری حاشیه ای محلی (LMP) در [۹] انجام شده است. روش دیگر برای مدیریت تراکم استفاده از ادوات FACTS است. مکان بهینه TCSC برای مدیریت تراکم در [۳] با استفاده از دو اندیس تلفات توان حقیقی و عملکرد پخش توان حقیقی مورد مطالعه قرار گرفته است. مدیریت تراکم با توجه به ماکریم سازی رفاه اجتماعی در [۱۰] بررسی شده است. نوع، مکان و اندازه جبرانساز استاتیک توان راکتیو و خازن سری کنترل شونده با تریستور با استفاده از الگوریتم ژنتیک چند هدفه در [۱۱] تعیین شده است. برخی الگوریتم های تکاملی نظری ژنتیک، ازدحام ذرات، تکامل تفاضلی و شبیه سازی تبرید برای بررسی مساله تراکم در [۱۲-۱۵] به کار گرفته شده اند. الگوریتم بهینه سازی ترتیبی برای حل مساله تراکم و بهینه سازی مکان و اندازه SVC و TCSC با توجه به محدودیت های بهره برداری در [۱۶] استفاده شده است. اما هزینه های تولید و ادوات FACTS در نظر گرفته نشده اند. مدیریت تراکم در بازار برق با استفاده از STATCOM و SSSC در [۱۷] انجام شده است. در [۱۸] علاوه بر کاهش تراکم، کاهش نوسانات بین ناحیه ای نیز از اهداف مطلوب در تعیین تعداد، مکان و اندازه بهینه SVC و TCSC در نظر گرفته شده است. مدل دینامیکی برای SVC با توجه به شبیه منحنی مشخصه و تاخیر در زاویه آتش و برای TCSC فقط بر اساس تاخیر در زاویه آتش در نظر گرفته شده است. برای افزایش ظرفیت انتقال در دسترس (ATC) برخی ادوات FACTS نظیر ترانسفورماتور شیفت دهنده فاز کنترل شونده با تریستور (TCPST)، SVC و TCSC به کار گرفته شده اند [۱۹] و [۲۰]. هدف، یافتن مکان و تنظیمات بهینه

با افزایش تقاضای توان الکتریکی و محدودیت های پیش روی احداث و توسعه سیستم های قدرت جدید، معمولاً مجبور به بهره برداری از خطوط انتقال با ظرفیتی نزدیک حد حرارتی آنها هستیم. در چنین شرایطی، قابلیت اطمینان سیستم کاهش می یابد، زیرا افزایش ناخواسته باز یا خروج بعضی خطوط منجر به افزایش باز در خطوط انتقال می گردد. در نتیجه با افزایش خطوط خارج شده، شرایط سیستم بحرانی تر شده و احتمال خاموشی سراسری افزایش می یابد.

خط دارای تراکم، خطی است که توان عبوری از آن بیشتر از مقدار نامی مجاز باشد. به طور کلی روش های مدیریت تراکم به دو دسته روش های فنی و روش های غیر فنی مبتنی بر می شوند که روش های غیر فنی به دو دسته روش های مبتنی بر بازار و غیر مبتنی بر بازار تقسیم می شوند [۱]. از روش های فنی می توان به قطع خطوط دارای تراکم، به کارگیری شیفت دهنده های فاز و بهره برداری از ادوات FACTS اشاره کرد. زمان بندی تولید ژنراتورها، قطع بار و قیمت گذاری نقطه ای و ناحیه ای از جمله روش های غیر فنی به شمار می روند. از بین دو روش اصلی بالا، روش های فنی دارای مزیت هایی از جمله عدم تاثیر گذاری بر مسائل اقتصادی هستند، به این ترتیب تولید کننده و توزیع کننده (GENCO and DISCO) درگیر نمی شوند. بنابراین، ادوات FACTS به عنوان یک تکنولوژی که می تواند تراکم انتقال را کاهش دهد و منجر به استفاده بهتر از شبکه موجود گردد، مورد بهره برداری قرار گرفته است [۲]. به نظر برخی دیگر از محققین، افزایش میل به استفاده از این ادوات به دو دلیل است: اولاً پیشرفت های اخیر در الکترونیک قدرت این ادوات را مقرن به صرفه ساخته و ثانیاً افزایش بار سیستم های قدرت، همراه با مقررات زدایی در صنعت برق، باعث افزایش تمایل در به کارگیری ادوات کنترل پخش توان به عنوان ابزارهای دارای توجیه اقتصادی در توزیع توان شده است [۳].

زمان بندی تولید برای مدیریت تراکم در [۴] و [۵] استفاده شده است. در [۴]، از ضرایب توزیع تراکم انتقال بر مبنای توان حقیقی خط استفاده شده تا تراکم ناحیه بندی شود و بهره بردار سیستم بتواند به طور بهینه تولید را زمان بندی مجدد کرده و تراکم را مدیریت نماید. حساسیت ژنراتورها به توان عبوری روی خطوط دارای تراکم برای انتخاب ژنراتورهای شرکت کننده در حل مساله تراکم استفاده شده، سپس الگوریتم بهینه سازی

$$Z_c = \frac{(Z_{1a} + jX_{TCSC})Z_{2a} + (Z_{1a} + jX_{TCSC})Z_{3a} + Z_{2a}Z_{3a}}{Z_{3a}} \quad (3)$$

که در این معادلات داریم:

$$Z_{1a} = \frac{Z_1 Z_{Line}}{2Z_1 + Z_{Line}} \quad Z_{2a} = \frac{Z_1 Z_{Line}}{2Z_1 + Z_{Line}} \quad Z_{3a} = \frac{Z_1^2}{2Z_1 + Z_{Line}}$$

همانطور که در مدل جدید π نشان داده شده، امپدانس سری خط برابر Z_c است و دو ادمیتانس موازی خط به ترتیب $1/Z_a$ و $1/Z_b$ می‌باشند که با یکدیگر برابر نیستند. توان عبوری از خط $i-j$ عبارتست از:

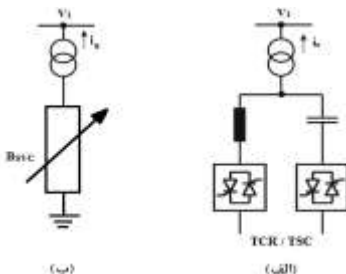
$$P_{ij} = \frac{|V_i|^2}{Z_c} \cos \gamma - \frac{|V_i| |V_j|}{Z_c} \cos(\gamma + \delta_1 - \delta_2), \quad (4)$$

$$Q_{ij} = \frac{|V_i|^2}{Z_c} \sin \gamma - \frac{|V_i| |V_j|}{Z_c} \sin(\gamma + \delta_1 - \delta_2), \quad (5)$$

که γ زاویه Z_c است و δ_1 و δ_2 به ترتیب زوایای ولتاژ باس‌های i و j هستند.

SVC - ۲-۲

ساختار کلی یک SVC و مدل سوسپتانس متغیر آن در شکل (۴) نشان داده شده‌اند. SVC به صورت موازی به باسی که می‌خواهیم ولتاژ آنرا کنترل کنیم، متصل می‌شود و با تزریق یا جذب توان راکتیو، ولتاژ باس را کنترل می‌کند. برای مدل‌سازی SVC، که شامل یک راکتور کنترل شونده با تریستور (TCR) و خازن سوییچ شونده با تریستور (TSC) است، یک سوسپتانس متغیر (B_{SVC}) در بازه $[B_{min}, B_{max}]$ را می‌توان استفاده کرد.



شکل (۴): مدار معادل و مدل SVC (۱): مدار معادل، (۲): مدل سوسپتانس متغیر SVC

SVC بر مبنای ولتاژ باس و اختلاف آن با مقدار مطلوب، سوسپتانس خود را تغییر می‌دهد تا با تزریق یا جذب توان راکتیو، ولتاژ باس را کنترل کند. توان راکتیو تزریقی توسط SVC متصل به باس i طبق معادله زیر قابل محاسبه است [۲۱]:

$$Q_{SVC_i} = B_{SVC_i} V_i^2 \quad (6)$$

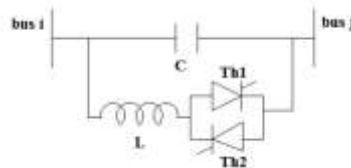
ادوات FACTS است به گونه‌ای که توان قابل انتقال بین نواحی افزایش یابد.

در این مقاله دو الگوریتم بهینه سازی چند هدفه به نام‌های MOPSO و NSGA-II برای یافتن مکان و اندازه بهینه ادوات FACTS بعلاوه مقدار تغییر در توان اکتیو تولیدی ژنراتورها مورد استفاده قرار گرفته‌اند تا تراکم خطوط بر طرف شده و دامنه ولتاژ باس‌ها نیز اصلاح گردد.

۲- تاثیرات ادوات FACTS

TCSC - ۱-۲

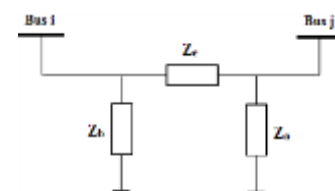
ساختار کلی یک TCSC که شامل یک خازن موازی با یک راکتور کنترل شونده با تریستور می‌باشد، در شکل (۱) نشان داده شده است. یکی از وظایف TCSC کنترل پخش توان در خطوط است. برای این منظور، TCSC با تغییر راکتانس خود، امپدانس خط را تنظیم می‌کند. شکل (۲) مدل π یک خط انتقال را در حضور TCSC که با X_{TCSC} مدل شده است، نشان می‌دهد. با استفاده از تبدیلات ستاره-مثلا و بالعکس، مدل معادل جدید به صورت شکل (۳) خواهد بود.



شکل (۱): ساختار TCSC



شکل (۲): مدار معادل خط $j-i$ در حضور TCSC



شکل (۳): مدل π خط انتقال در حضور TCSC

$$Z_a = \frac{(Z_{1a} + jX_{TCSC})Z_{2a} + (Z_{1a} + jX_{TCSC})Z_{3a} + Z_{2a}Z_{3a}}{Z_{1a} + jX_{TCSC}} \quad (1)$$

$$Z_b = \frac{(Z_{1a} + jX_{TCSC})Z_{2a} + (Z_{1a} + jX_{TCSC})Z_{3a} + Z_{2a}Z_{3a}}{Z_{2a}} \quad (2)$$



۳- فرمول بندی مساله

برای شبیه سازی شرایط تراکم در سیستم قدرت، یک ضریب افزایش یکنواخت (λ) در تمام بارهای سیستم ضرب شده است. هرچه λ بزرگتر باشد، هم تعداد خطوط دارای تراکم و هم تعداد باس هایی که ولتاژشان از محدوده مجاز خارج شده، بیشتر می شود. هدف از بهینه سازی، حذف تراکم است به گونه ای که از قیود بهره برداری سیستم تجاوز نشود. این قیود را می توان به صورت زیر نوشت:

$$\sum P_{G_i} - P_{loss} - (1+\lambda)P_{D_0} = 0, \quad (7)$$

$$\sum Q_{G_i} + Q_{SVC_i} - Q_{loss} - (1+\lambda)Q_{D_0} = 0, \quad (8)$$

$$P_{G_i}^{\min} \leq P_{G_i} \leq P_{G_i}^{\max}, \quad (9)$$

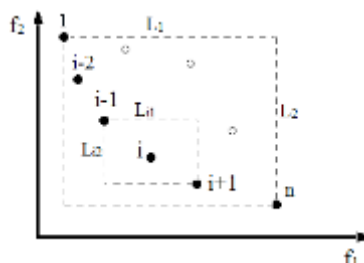
$$S_{ij} \leq S_{ij}^{\max}, \quad (10)$$

$$Q_{G_i}^{\min} \leq Q_{G_i} \leq Q_{G_i}^{\max}, \quad (11)$$

$$Q_{SVC_i}^{\min} \leq Q_{SVC_i} \leq Q_{SVC_i}^{\max}, \quad (12)$$

$$X_{TCSC}^{\min} \leq X_{TCSC} \leq X_{TCSC}^{\max}, \quad (13)$$

$$V_i^{\min} \leq V_i \leq V_i^{\max}. \quad (14)$$



شکل (۵): محاسبه فاصله ازدحام

برای جواب های مرزی (اولین و آخرین جواب)، فاصله ازدحام برابر بی نهایت در نظر گرفته می شود. برای جواب های بین این دو، مثلا برای جواب i ام، فاصله ازدحام (C.D) از رابطه زیر محاسبه می شود:

$$C.D = \frac{L_{i1}}{L_1} + \frac{L_{i2}}{L_2} \quad (15)$$

که L طول اضلاع مستطیل ایجاد شده توسط اولین و آخرین عضو جبهه است و L_i طول اضلاع مستطیل ایجاد شده توسط جواب های مجاور جواب i ام است.

۴-۱-۴- حلقه اصلی الگوریتم

در ابتدای الگوریتم، جمعیت اولیه P_0 با N عضو به صورت تصادفی ایجاد می شود. جمعیت بر اساس مفهوم غلبه (domination) مرتب می شود. هر عضو جمعیت، رتبه ای دارد و بهترین رتبه ۱ است. سپس با استفاده از عملگرهای الگوریتم ژنتیک (یعنی انتخاب، ترکیب و جهش) جمعیت جدید N با عضو ایجاد می شود. سپس شمارنده t برابر صفر قرار داده می شود و الگوریتم وارد حلقه اصلی خود می شود. در این حلقه، یک جمعیت مركب R_t شامل $2N$ عضو از اجتماع دو مجموعه P_t و Q_t بوجود می آید و بر اساس مفهوم غلبه مرتب می شود. سپس از بین اعضای R_t ، N عضو که دارای رتبه کمتری هستند، انتخاب می شوند. برای انتخاب از بین اعضای دارای رتبه یکسان، از شرط فاصله ازدحام استفاده می شود. یعنی عضوی که بیشترین فاصله ازدحام را دارد برای انتخاب، تقدیم دارد. اعضای انتخاب شده در مجموعه P_{t+1} قرار می گیرند و دوباره عملگرهای ژنتیکی برای ایجاد مجموعه Q_{t+1} استفاده می شوند. این مراحل تکرار می شوند تا شرط توقف الگوریتم تحقق یابد.

که P_{Gi}^{\max} و P_{Gi}^{\min} حد پایین و بالای توان اکتیو تولیدی ژنراتور i ام، Q_{Gi}^{\max} و Q_{Gi}^{\min} حد پایین و بالای توان راکتیو تولیدی ژنراتور i ام، Q_{loss} تلفات حقیقی و راکتیو در خطوط، S_{ij}^{\max} ماکریم توان قابل انتقال از خط متصل بین باس های i و j ، V_i^{\max} و V_i^{\min} حدود مجاز دامنه ولتاژ در باس i ام، Q_{SVCi}^{\max} و Q_{SVCi}^{\min} حد پایین و بالای توان راکتیو تزریقی توسط SVC i متصل به باس i ام، X_{TCSC}^{\min} و X_{TCSC}^{\max} حد پایین و بالای راکتانس TCSC i نصب شده در خط $j-i$ هستند.

۴- الگوریتم های بهینه سازی

۴-۱-۴- الگوریتم ژنتیک با مرتب سازی نامغلوب (NSGA-II)

این الگوریتم که در سال ۲۰۰۲ توسط دب و همکارانش معرفی شد [۲۲]، توانایی بالایی در بهینه سازی چند هدفه و یافتن مجموعه بهینه پرتو دارد.

۴-۱-۱-۴- محاسبه رتبه و فاصله ازدحام

رتبه هر جواب بر اساس تعداد جواب هایی که آن جواب را مغلوب می کنند، بدست می آید. هرچه جواب مورد نظر توسط جواب های کمتری مغلوب شود، رتبه پایین تری پیدا خواهد کرد. جواب های دارای رتبه پایین تر به ججهه پرتو نزدیکترند.

- حافظه ذره نگهدارشته می‌شود؛ در غیر این صورت موقعیت جدید در حافظه ذخیره می‌شود؛
۱۳. یک واحد به شمارنده حلقه اضافه می‌شود؛
 ۱۴. اگر شمارنده حلقه کمتر از مقدار مشخص است، به مرحله ۷ باز می‌گردد؛ در غیر این صورت به مرحله ۱۵ می‌رسد؛
 ۱۵. نمایش ذرات موجود در مخزن به عنوان جواب‌های بهینه پرتو.

۵- روش پیشنهادی

۱-۵- توابع هدف

حذف تراکم و کاهش تلفات ضمن توجه به جنبه‌های اقتصادی و نگهدارشتن ولتاژ باس‌ها در محدوده مطلوب، اهداف اصلی این مقاله هستند. بنابراین، یک مساله بهینه سازی چهار هدفه باید حل شود. این مساله را می‌توان با استفاده از ضرایب نرمالیزه و ضرایب وزنی به یک مساله بهینه سازی تک هدفه تبدیل کرد و به یک جواب بهینه دست یافت. گاهی در یک مساله بهینه سازی، اهداف با همدیگر در تضاد هستند. به این ترتیب جوابی که از نظر یکی از اهداف بهترین جواب است، ممکن است از نظر دیگر اهداف مناسب نباشد. به عنوان مثال، در این مقاله حذف تراکم با کمینه سازی هزینه در تضاد است. اگر مساله به صورت چند هدفه حل شود و یک مجموعه جواب بدست آید، امکان انتخاب بهترین جواب فراهم می‌گردد. بنابراین در این مقاله، دو تابع هدف تعریف شده و در هر تابع هدف دو تا از اهدافی که تضاد کمتری با هم دارند، قرار گرفته اند. در ادامه، هر کدام از توابع هدف شرح داده شده اند.

۱-۱-۵- تابع هدف Z_{II}

این تابع شامل اهداف زیر است:

الف) اندیس عملکرد پخش توان حقیقی (PI):

این اندیس به صورت زیر تعریف می‌شود [۲۴]:

$$PI = \sum_{m=1}^l \frac{W_m}{2n} \left(\frac{P_{l_m}}{P_{l_m}^{\max}} \right)^{2n}, \quad (18)$$

که P_{lm} و P_{lm}^{\max} به ترتیب توان حقیقی عبوری و ماکزیمم توان قابل انتقال خط m ام هستند. n یک مقدار ثابت و W_m ، ضرایب وزنی غیر منفی هستند. در این مقاله، n برابر ۱ بوده و W_m ‌ها از رابطه زیر بدست می‌آیند:

۲-۴- بهینه سازی اجتماع ذرات چند هدفه

کوئلو و همکارانش الگوریتم بهینه سازی چند هدفه ازدحام ذرات را معرفی کردند [۲۳]. مراحل این الگوریتم به شرح زیر است:

۱. ایجاد جمعیت اولیه (Pop) به طور تصادفی؛

۲. مقداردهی اولیه به سرعت ذرات (در ابتداء سرعت تمام

ذرات برابر صفر قرار داده می‌شود)؛

۳. ارزیابی هر ذره؛

۴. قرار دادن ذرات نامغلوب در یک مجموعه جدید به نام

مخزن (Repository)؛

۵. تقسیم بندی فضای جستجو با استفاده از مربع‌های کوچک؛

$P_{best}(i)=Pop(i)$ به حافظه هر ذره (

۷. محاسبه سرعت هر ذره از رابطه زیر:

$$Vel(i) = w \cdot Vel(i) + R_1 \cdot (P_{best}(i) - Pop(i)) + \dots \\ R_2 \cdot (Rep(h) - Pop(i)), \quad (16)$$

که w ضریب وزنی، R_1 و R_2 اعداد تصادفی از بازه [۰ ۱/۵] هستند. $P_{best}(i)$ بهترین موقعیتی است که توسط ذره i ام بدست آمده است. $Rep(h)$ ذره‌ای از مخزن است که به صورت زیر انتخاب می‌شود:

ابتدا برای هر مربع در فضای جستجو که دارای یک یا چند ذره است، شایستگی محاسبه می‌شود که مقدار آن با تعداد ذرات موجود در مربع مورد نظر رابطه معکوس دارد. سپس یکی از این مربع‌ها با استفاده از روش چرخ رولت، انتخاب می‌شود. $Rep(h)$ به طور تصادفی از بین اعضای این مربع انتخاب می‌شود.

۸. موقعیت‌های جدید برای تمام ذرات از رابطه زیر محاسبه می‌شود:

$$Pop(i) = Pop(i) + Vel(i), \quad (17)$$

۹. برای هر ذره که موقعیت آن از مزهای مجاز خارج شده، موقعیت برابر همان مرز قرار داده می‌شود.

۱۰. ارزیابی هر ذره؛

۱۱. به روز رسانی مخزن: جواب‌های نامغلوب در جمعیت جدید، به مخزن اضافه می‌شوند. علاوه بر آن، اعضایی از مخزن که با ورود اعضای جدید مغلوب شده اند، حذف می‌شوند؛

۱۲. به روز رسانی حافظه هر ذره: اگر موقعیت جدید هر ذره توسط موقعیت موجود در حافظه مغلوب شود،



ساعت تعریف کنیم. بنابراینتابع هدف Z_{22} به صورت زیر تعریف می‌شود:

$$Z_{22} = C_{gen} + \left(\frac{C_{FACTS}}{5 \times 365 \times 24} \right), \quad (25)$$

که در این معادله داریم:

$$C_{gen} = \sum_{i=1}^{n_g} C_{g_i}, \quad C_{FACTS} = \sum_{i=1}^{n_{FACTS}} C_{FACTS_i} S_i.$$

۲-۵- تابع هدف با در نظر گرفتن جریمه‌ها

برای نگهداشتن دامنه ولتاژ باس‌ها در محدوده مجاز [0.95^{p.u.} - 1.09^{p.u.}] و همچنین جلوگیری از تراکم، دو جریمه تعریف شده است. جریمه اول (*Pen*) برای حذف تراکم بوده و برابر با تعداد خطوط دچار تراکم می‌باشد. جریمه دوم (*V.C*) برابر با تعداد باس‌هایی است که دامنه ولتاژ آن‌ها از محدوده مجاز خارج است. حالت‌های مختلفی برای اضافه شدن جریمه‌ها به تابع هدف بررسی شد که تمام آنها با شکست مواجه شدند، مگر حالتی که در آن جریمه‌ها به هر دو تابع هدف و متناسب با مقدار آن تابع هدف اضافه شدند. تابع هدف نهایی با در نظر گرفتن جریمه‌ها به صورت زیر هستند:

$$Z_1 = Z_{11} + (0.5 * Z_{11} * (V.C + Pen)) \quad (26)$$

$$Z_2 = Z_{22} + (0.5 * Z_{22} * (V.C + Pen)) \quad (27)$$

شکل (۶) فلوچارت روش پیشنهادی را نشان می‌دهد. به دلیل حفظ اختصار، در این شکل فقط فلوچارت روش پیشنهادی بر مبنای الگوریتم NSGA-II آورده شده است.

۳-۵- بهترین جواب مصالحه‌ای

برای مقایسه مجموعه جواب‌های بهینه پرتو حاصل از دو الگوریتم بهینه سازی چند هدفه، از هر مجموعه یک جواب انتخاب می‌شود که بهترین جواب مصالحه‌ای نام دارد. با مقایسه این دو جواب، مجموعه پرتو برتر انتخاب می‌شود. برای یافتن بهترین جواب مصالحه‌ای مراحل زیر طی می‌شود[۲۷]:

ابتدا به ازای n امین تابع هدف از m امین جواب، تابع عضویت

به صورت زیر تعریف می‌شود:

$$MF_{m,n} = \begin{cases} 1 & Z_{m,n} \leq Z_{n,\min} \\ \frac{Z_{n,\max} - Z_{m,n}}{Z_{n,\max} - Z_{n,\min}} & Z_{n,\min} \leq Z_{m,n} \leq Z_{n,\max} \\ 0 & Z_{m,n} \geq Z_{n,\max} \end{cases} \quad (28)$$

$$W_m = \begin{cases} 1 & \text{if } \frac{P_{l_m}}{P_{l_m}^{\max}} \leq 1, \\ 1 + 0.01 * \left| \frac{P_{l_m}}{P_{l_m}^{\max}} \right| & \text{otherwise.} \end{cases} \quad (19)$$

کوچک بودن *PI* نشان دهنده پخش توان یکنواخت در خطوط است.

ب) تلفات خطوط:

به منظور مینیمم سازی تلفات خطوط شبکه، این ترم به صورت زیر تعریف و به تابع هدف اول اضافه شده است:

$$Loss = \sum_{i=1}^l loss_i, \quad (20)$$

که $loss_i$ تلفات خط i است. به این ترتیب تابع هدف اول به صورت زیر تعریف شده است:

$$Z_{11} = A_1 PI + A_2 Loss. \quad (21)$$

که A_1 و A_2 ضرایب مور نیاز برای تبدیل مساله چند هدفه به تک هدفه هستند و از روش معیار سراسری بدست می‌آیند.

۲-۱-۵- تابع هدف Z_{22}

این تابع هدف به هزینه‌ها اختصاص دارد و هزینه‌های تولید و همچنین هزینه‌های ادوات *FACTS* را شامل می‌شود.

الف) هزینه تولید:

هزینه تولید هر ژنراتور با استفاده از رابطه زیر بدست می‌آید[۲۵]:

$$C_{g_i} = a_i P_{g_i}^2 + b_i P_{g_i} + c_i \text{ (US$/h)} \quad (22)$$

که P_{g_i} توان اکتیو تولیدی ژنراتور i است و a_i , b_i و c_i ضرایب ثابت مرتبه به تابع هزینه این ژنراتور می‌باشند.

ب) هزینه ادوات *FACTS*:

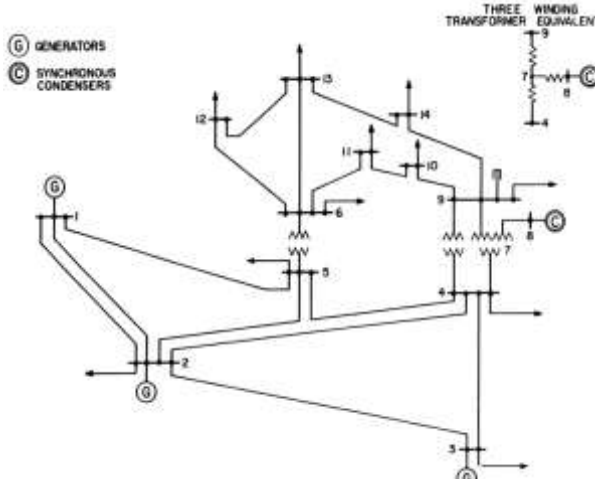
تابع هزینه ادوات *FACTS* به صورت زیر بیان می‌شوند[۲۶]:

$$C_{SVC_i} = 0.0003S_i^2 - 0.3051S_i + 127.38 \text{ [US$/kVar]}, \quad (23)$$

$$C_{TCSC_i} = 0.0015S_i^2 - 0.7130S_i + 153.75 \text{ [US$/kVar]}, \quad (24)$$

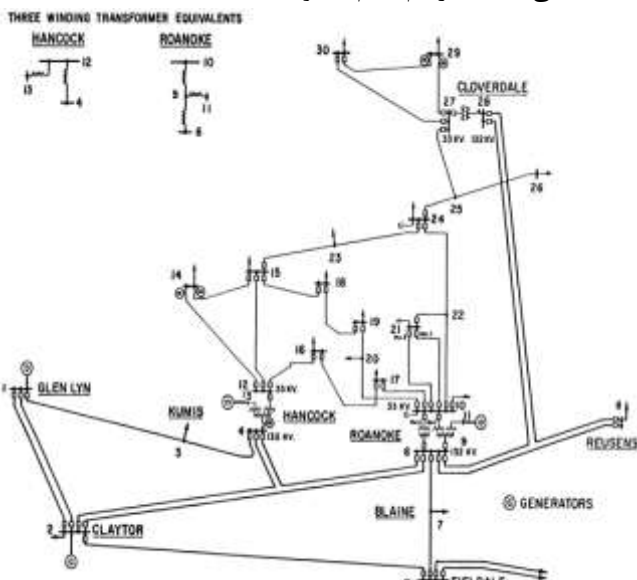
چون تابع هزینه تولید ژنراتور برای یک دوره پنج ساله و بر حسب دلار بر ساعت تعیین شده است، تابع هزینه ادوات *FACTS* را نیز باید برای یک دوره پنج ساله و بر حسب دلار

سیستم ۱۴ باسه شامل ۲۱ خط، ۳ ژنراتور و یک کندانسور سنکرون است که کندانسور به باس ۸ متصل می‌باشد.



شکل (۷): دیاگرام تک خطی سیستم تست ۱۴ باسه

سیستم ۳۰ باسه دارای ۴۳ خط و پنج ژنراتور است. در این مقاله، خطی را دچار تراکم می‌دانیم که توان عبوری از آن از مقدار نامی خط بیشتر شود. همچنین، برای هر خط اندیسی با عنوان نسبت تراکم (congestion ratio) (congestion ratio) تعریف شده است که برابر نسبت توان اکتیو عبوری از خط به توان نامی خط می‌باشد. هدف اصلی، حذف تراکم تمام خطوط است.



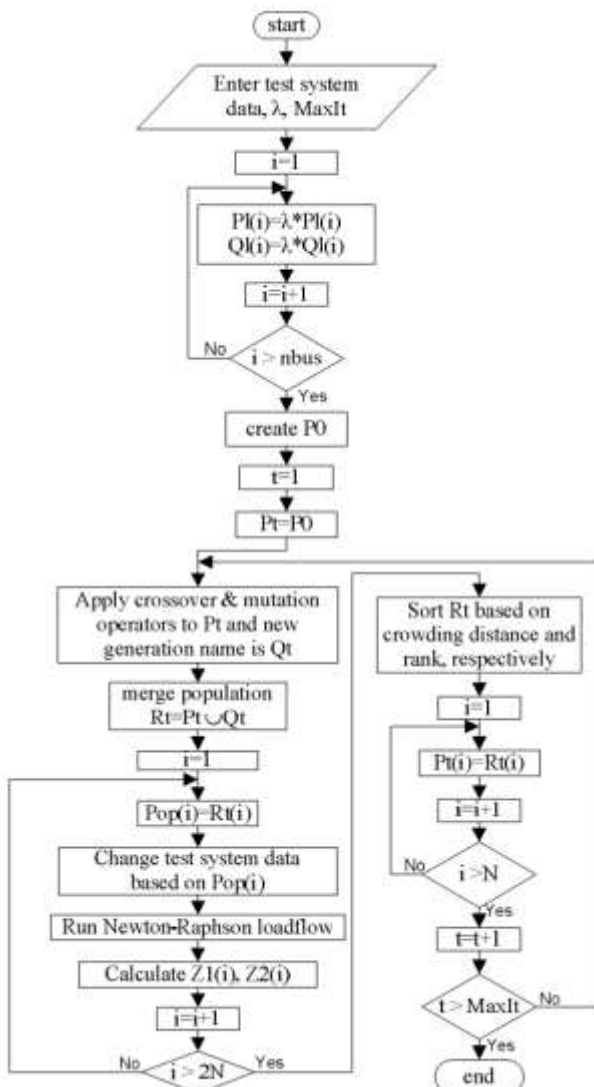
شکل (۸): دیاگرام تک خطی سیستم تست ۳۰ باسه

کارایی روش پیشنهادی در حذف تراکم، با استفاده از هر دو سیستم تست ارزیابی شده است.

که $Z_{n,min}$ و $Z_{n,max}$ به ترتیب مقادیر بیشینه و کمینه تابع هدف n ام در بین جواب‌های مجموعه پرتو هستند. سپس برای هر جواب از مجموعه پرتو، تابع عضویت نرمالیزه شده MF_m به صورت زیر محاسبه می‌شود:

$$MF_m = \frac{\sum_{n=1}^{N_{obj}} MF_{m,n}}{\sum_{m=1}^{N_{Par}} \sum_{n=1}^{N_{obj}} MF_{m,n}}, \quad (29)$$

که N_{Par} تعداد جواب‌های مجموعه پرتو و N_{obj} تعداد توابع هدف هستند. جوابی که بیشترین مقدار تابع عضویت نرمالیزه شده را داشته باشد، به عنوان بهترین جواب مصالحه‌ای انتخاب می‌شود.



شکل (۶): فلوچارت روش پیشنهادی بر مبنای NSGA-II

۶- نتایج شبیه سازی

دو سیستم تست تغییر یافته ۱۴ باسه و ۳۰ باسه IEEE، به منظور بررسی کارایی توابع هدف پیشنهادی، استفاده شده اند.

۶-۱- ساختار هر جواب و پارامترهای الگوریتم‌های

بهینه سازی

هر کروموزوم از هر الگوریتم، همانطور که در جدول ۱ نشان داده شده است، دارای ۱۰ قسمت است که ۸ قسمت اول، مکان و اندازه ادوات FACTS را نمایش می‌دهند و دو قسمت آخر به مقدار تغییر در توان اکتیو تولیدی دو تا از ژنراتورهای سیستم اختصاص دارد که در سیستم تست ۱۴ باسه این دو ژنراتور به باس‌های ۲ و ۳ و در سیستم ۳۰ باسه به باس‌های ۲ و ۱۱ متصل هستند. پارامترهای الگوریتم‌های NSGA-II و MOPSO در جدول ۲ آورده شده اند.

جدول (۱): ساختار هر کروموزوم / ذره در الگوریتم‌های بهینه سازی

MOPSO	NSGA-II	
۶	۶	TCSC1
۱۳	۶	SVC1
-۰/۰۳۰۶	-۰/۰۳۵۷	اندازه TCSC1 (پریونیت)
۰/۲۱۷۷	۰/۱۸۹۰	اندازه SVC1 (پریونیت)
۷	۷	TCSC2
-۰/۱۲۱۴	-۰/۱۲۶۸	اندازه TCSC2 (پریونیت)
۶	۱۳	SVC2
۰/۰۷۳۲	۰/۱۳۲۴	اندازه SVC2 (پریونیت)
۱۵	۱۴/۵۸۸۰	ΔPG2 (مکاوات)
۹۹/۹۹۹۲	۹۹/۶۹۰۴	ΔPG3 (مگاوات)

تغییر در توان اکتیو ژنراتورهای مشخص شده

SV=SVC, TC=TCSC, ΔP_G , ΔP_C

جدول (۲): پارامترهای الگوریتم‌های بهینه سازی

تعداد اعضای مخزن	ضریب w	احتمال جهش	احتمال ترکیب	تعداد جمعیت	
-	-	۰/۳	۰/۸	۵۰	NSGA-II
۵۰	۰/۸	-	-	۵۰	MOPSO

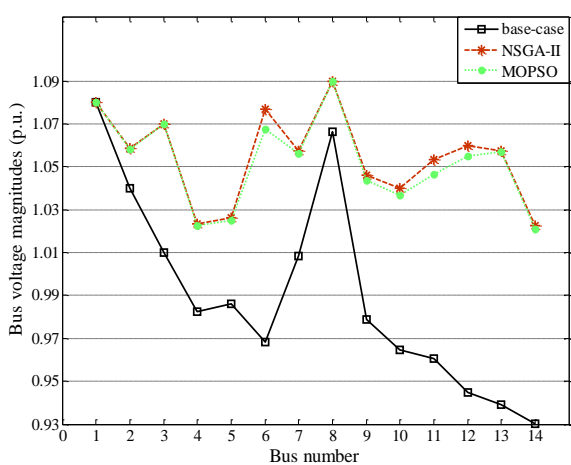
۶-۲- نتایج و مقایسه آنها

۶-۲-۱- نتایج برای سیستم تست ۱۴ باسه IEEE

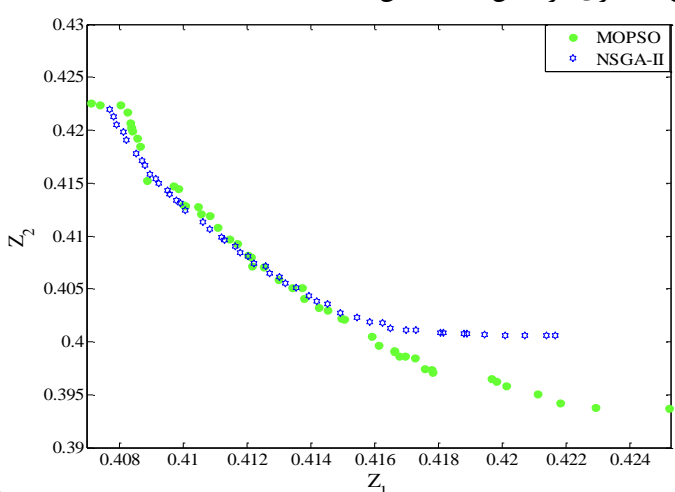
به منظور ایجاد تراکم شدید در شبکه، $\lambda = ۱/۵۵۱$ در نظر گرفته شده است. مجموعه‌های بهینه پرتو حاصل از دو الگوریتم بهینه‌سازی در شکل (۹) نمایش داده شده اند.

MOPSO	NSGA-II	حالت اولیه	
۸۵۵/۴۵۸	۸۵۳/۷۹۳	۷۵۵/۲۴۳	هزینه تولید (میلیون دلار)
۰/۹۶۳۱	۱/۶۳۸۳	-	هزینه ادوات FACTS (میلیون دلار)
۸۵۶/۴۲۱۱	۸۵۵/۴۳۱۳	۷۵۵/۲۴۳	هزینه کل (میلیون دلار)

دامنه ولتاژ باس‌ها برای حالت اولیه و همچنین به ازای بهترین جواب‌های مصالحه‌ای، در شکل (۱۰) نشان داده شده اند.



شکل (۱۰): دامنه ولتاژ باس‌ها به ازای حالت اولیه در مقایسه با نتایج حاصل از بهترین جواب‌های مصالحه‌ای برای سیستم تست ۱۴ باسه ولتاژ‌باش‌های ۱۲، ۱۳، ۱۴ و پیش از بهینه سازی کمتر از مقدار مجاز بوده است، در حالی که پس از بهینه سازی به ازای هر دو



شکل (۹): منحنی‌های بهینه پرتو برای سیستم تست ۱۴ باسه هر مجموعه بهینه پرتو جواب‌هایی دارد که تراکم را حذف می‌کنند و دامنه ولتاژ باس‌ها را بهبود می‌بخشند. مکان و اندازه

الگوریتم NSGA-II پس از ۴۰۰ تکرار به مجموعه‌ای از جواب‌ها با توزیع مناسب در فضای جستجو رسیده است اما مجموعه جواب حاصل از MOPSO در محدوده کوچکی از توابع هدف Z_1 , Z_2 , قرار دارد. بنابر این در این مورد با تکرارهای یکسان مجموعه جواب حاصل از NSGA-II بهتر از مجموعه جواب حاصل از MOPSO می‌باشد. بهترین جواب‌های مصالحه‌ای برای هر الگوریتم در جدول ۵ آورده شده است.

جدول (۵): بهترین جواب‌های مصالحه‌ای هر الگوریتم برای سیستم تست ۳۰ باسه

MOPSO	NSGA-II	
۴۲	۳	TCSC1 مکان
۲۸	۲۷	SVC1 مکان
-۰/۱۴۶۳	-۰/۱۲۴۹	اندازه TCSC1 (پریونیت)
۰/۲۸۳۰	۰/۲۴۹۸	اندازه SVC1 (پریونیت)
۳۰	۴۳	TCSC2 مکان
-۰/۱۱۴۵	-۰/۱۰۹۶	اندازه TCSC2 (پریونیت)
۲۷	۱۸	SVC2 مکان
۰/۲۵۳۷	۰/۰۱۹۹	اندازه SVC2 (پریونیت)
۸۴/۴۹۴۹	۴۴/۲۷۷۹	(مکاوات) ΔP_{G2}
۴۱/۰۱۳۷	۴۳/۶۴۰۸	(مکاوات) ΔP_{G11}

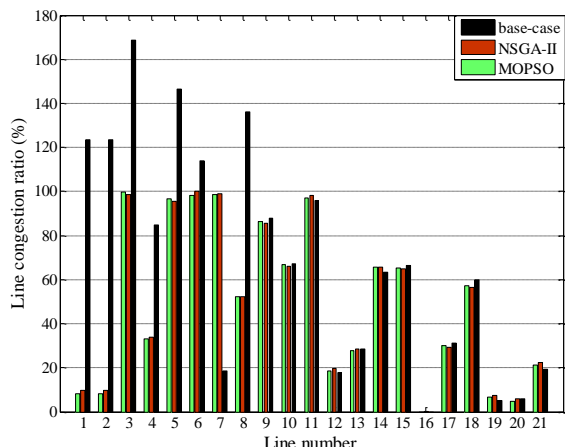
هزینه‌های تولید و ادوات FACTS به ازای هر جواب در جدول ۶ آورده شده است. الگوریتم NSGA-II هزینه‌ها را به نحو مطلوب تری کاهش داده است.

جدول (۶): هزینه‌های تولید و ادوات FACTS به ازای شرایط اولیه و بهترین جواب‌های مصالحه‌ای برای سیستم تست ۳۰ باسه

MOPSO	NSGA-II	حالات اولیه	
۶۳۷/۱۱۴۸	۵۸۲/۲۴۰۸	۵۸۳/۲۸۴۶	هزینه تولید (میلیون دلار)
۸/۷۱۳۳	۴/۱۶۳۲	-	هزینه ادوات FACTS (میلیون دلار)
۶۴۵/۸۲۸۱	۵۸۷/۴۰۴۰	۵۸۳/۲۸۴۶	هزینه کل (میلیون دلار)

دامنه ولتاژ باس‌ها و نسبت تراکم برای بهترین جواب‌های مصالحه‌ای در شکل‌های (۱۳) و (۱۴) نشان داده شده است. طبق شکل (۱۳) دامنه ولتاژ باس‌ها از جمله باس‌های ۲۵، ۲۶، ۲۷، ۲۹ و ۳۰ که قبل از بهینه سازی خارج از محدوده مجاز بوده اند، به ازای هر دو جواب مصالحه‌ای بهبود یافته اند.

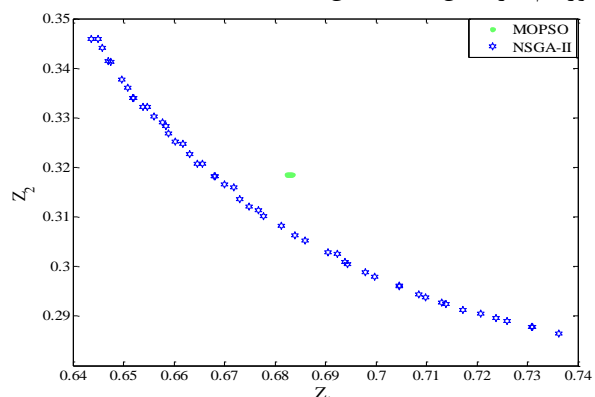
جواب مصالحه‌ای، دامنه ولتاژ تمام باس‌ها در محدوده مجاز قرار گرفته است. نسبت تراکم خطوط قبل و بعد از بهینه سازی، در شکل (۱۱) نشان داده شده است. قبل از بهینه سازی، خطوط ۱، ۲، ۳، ۵، ۶ و ۸ دچار تراکم هستند، در حالی که به ازای هر دو جواب مصالحه‌ای، تراکم به طور کلی حذف شده است.



شکل (۱۱): نسبت تراکم برای جواب‌های مصالحه‌ای در مقایسه با شرایط اولیه برای سیستم تست ۳۰ باسه
اگر چه هزینه کل پس از بهینه سازی افزایش یافته، به ازای جواب‌های مصالحه‌ای تراکم به طور کلی حذف شده و دامنه ولتاژ باس‌ها بهبود یافته است.

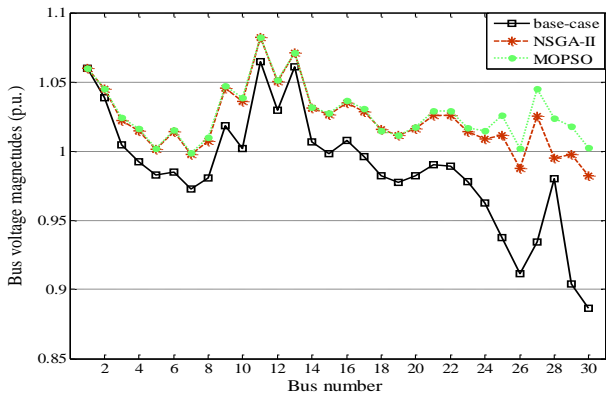
۶-۲-۲-۶- نتایج برای سیستم تست ۳۰ باسه

در این قسمت برای بررسی عملکرد الگوریتم‌های بهینه سازی، شرایط تراکم شدیدی روی سیستم ۳۰ باسه ایجاد شده است. برای این منظور، ضریب افزایش یکنواخت بار (λ) برابر $1/35$ در نظر گرفته شده است. منحنی‌های بهینه پرتو حاصل از هر الگوریتم، در شکل (۱۲) نشان داده شده اند.

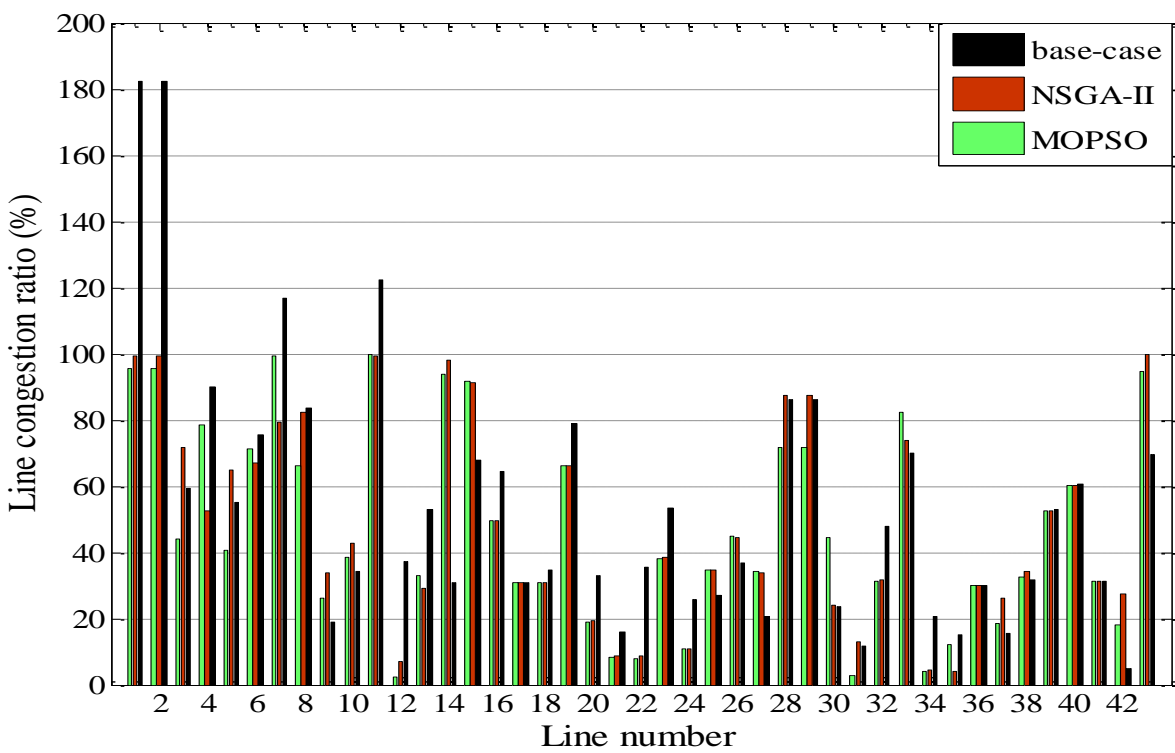


شکل (۱۲): منحنی‌های بهینه پرتو حاصل از الگوریتم‌های NSGA-II و MOPSO برای سیستم تست ۳۰ باسه





شکل (۱۳): دامنه ولتاژ باس‌ها به ازای شرایط اولیه و بهترین جواب‌های مصالحه‌ای برای سیستم تست ۳۰ باسه



شکل (۱۴): نسبت تراکم به ازای شرایط اولیه و جواب‌های مصالحه‌ای برای سیستم تست ۳۰ باسه

جدول (۷): تلفات کل خطوط به ازای شرایط اولیه و بهترین جواب‌های مصالحه‌ای

کل تلفات خطوط (مگاوات)			سیستم تست
MOPSO	NSGA-II	حالت اولیه	
۱۰/۴۵۳۹	۱۰/۴۶۹۷	۱۶/۵۴۸۷	۱۴ باسه
۱۵/۷۰۵۰	۱۷/۰۱۹۴	۲۶/۶۳۹۴	۳۰ باسه

بهترین، بدترین و مقدار متوسط هزینه کل به ازای جواب‌های بهینه پرتو حاصل از هر الگوریتم برای دو سیستم تست ۱۴ و ۳۰ بهینه است. در جدول ۸ ارائه شده اند. برای سیستم تست ۱۴ باسه، الگوریتم MOPSO در مقایسه با NSGA-II عملکرد بهتری دارد و مجموعه جواب پرتو به شکل مناسبتری در فضای جستجو توزیع شده است. این نکته را می‌توان با توجه به مقدار انحراف

با توجه به شکل (۱۴) می‌توان توانایی هر دو الگوریتم در حذف تراکم را استنتاج کرد. قبل از نصب ادوات FACTS و تنظیم توان حقیقی ژنراتورها، خطوط ۱، ۲ و ۱۱ دچار تراکم بوده اند. با اعمال تغییرات پیشنهادی بوسیله هر کدام از جواب‌های مصالحه‌ای، توان مورد نیاز بارها به گونه‌ای روی خطوط شبکه توزیع شده است که تراکم به طور کلی حذف گردیده است.

تلفات کل خطوط به ازای شرایط اولیه و همچنین بهترین جواب‌های مصالحه‌ای در جدول ۷ ارائه شده است. تلفات کل خطوط به ازای هر دو جواب کاهش یافته است.

پرتو حاصل از الگوریتم‌های بهینه‌سازی، تراکم را حذف و دامنه ولتاژ باس‌ها را بهبود می‌بخشد.

با توجه به نتایج شبیه سازی‌ها خصوصاً نتایج مربوط به سیستم تست ۳۰ باسه، الگوریتم NSGA-II عملکرد بهتری در مقایسه با MOPSO دارد، زیرا مجموعه جواب حاصل از این الگوریتم به نحو مطلوب‌تری در فضای جستجو توزیع شده است. اگرچه هر دو الگوریتم تلفات را به خوبی کاهش داده اند، جواب انتخاب شده از بین جواب‌های MOPSO منجر به تلفات کمتری می‌شود؛ باید در نظر داشت که جواب‌های مورد بررسی به روش مصالحه‌ای انتخاب شده‌اند. هیچ کدام از مجموعه‌های پرتو به طور مطلق نسبت به مجموعه دیگر، بهینه نیست. به این ترتیب مشاهده می‌شود جواب انتخابی از مجموعه جواب NSGA-II که هزینه را بهتر کاهش داده است، دارای تلفات بیشتری نسبت به جواب انتخابی از مجموعه جواب MOPSO می‌باشد.

نتایج حاصل از شبیه سازی‌ها کارایی توابع هدف پیشنهادی را به خوبی نشان می‌دهند، زیرا با وجود شرایط تراکم شدید در سیستم‌های تست مورد مطالعه، به دلیل انتخاب توابع هدف مناسب، الگوریتم‌های بهینه‌سازی جواب‌هایی را ارائه کرده اند که تراکم را حذف و دامنه ولتاژ باس‌ها را بهبود بخشیده‌اند.

پیوست

اطلاعات مورد نیاز سیستم‌های تست مورد مطالعه در این مقاله، در جدول ۱۰ آورده شده است.

جدول (۱۰): اطلاعات سیستم‌های تست مورد مطالعه

Bus num	IEEE 30-bus		IEEE 14-bus	
	PG [p.u.]	Voltage [p.u.]	PG [p.u.]	Voltage [p.u.]
۱	slag	۱/۰۶	slag	۱/۰۸
۲	۶۰	۱/۰۴۵	۱۵۰	۱/۰۴۵
۳	-	-	۱۰۰	۱/۰۷
۵	۲۵	۱/۰۱	-	-
۸	-	-	-	۱/۰۹
۱۱	۱۸	۱/۰۸۲	-	-
۱۳	۱۷	۱/۰۷۱	-	۱

مراجع

- [1] K. MWANZA, Y. SHI, Congestion Management: Re-dispatch and Application of FACTS, M.Sc. thesis, Department of Energy and Environment, Division of Electric Power Engineering, CHALMERS UNIVERSITY OF TECHNOLOGY, Goteborg, Sweden, 2006.
- [2] L. Rajalakshmi, M. V. Suganyadevi, S. Parameswari, Congestion Management in Deregulated Power System by Locating Series

معیار نیز استنتاج کرد، انحراف معیار بزرگتر مشخص کننده توزیع بهتر در فضای جستجو است. در سیستم ۳۰ باسه، MOPSO در مقایسه با NSGA-II عملکرد بسیار ضعیفی دارد. جواب‌های حاصل از MOPSO بسیار به هم نزدیک هستند و در بازه کوچکی از توابع هدف Z_1 و Z_2 قرار گرفته‌اند.

جدول (۸): مقایسه الگوریتم‌های بهینه‌سازی از لحاظ هزینه‌ها

هزینه کل (دلار بر ساعت)		انحراف معیار	متوسط	بدترین	بهترین	نام
۳۰۷/۱۹	۱۸۹۰۳/۲۵	۱۹۵۳۷/۰۳	۱۸۵۸۱/۹۸	NSGA-II	۱۴	باشه
۴۲۱/۴۷	۱۸۸۵۵/۳۶		۱۸۲۳۰/۷۷	MOPSO	۳۰	
۸۳۶/۰۸	۱۴۴۰۹/۳۳	۱۵۸۳۵/۱۹	۱۳۲۱۳/۱۲	NSGA-II	باشه	باشه
۰/۰۶	۱۴۵۴۶/۰۱	۱۴۵۴۶/۱۳	۱۴۵۴۵/۸۶	MOPSO		

در جدول ۹ الگوریتم‌ها از نظر زمان اجرا با هم مقایسه شده‌اند. الگوریتم MOPSO بسیار سریع‌تر از NSGA-II عمل کرده و مجموعه جواب را ایجاد می‌کند.

جدول (۹): مقایسه الگوریتم‌ها از نظر زمان اجرا

نام	اجرا بهینه سازی (ثانیه)	سیستم تست	
		MOPSO	NSGA-II
۱۴۰	۳۱۰	۱۴	باشه
۲۴۲	450	۳۰	باشه

اما در این مقاله، که هدف تعیین مکان و اندازه بهینه ادوات FACTS است، سرعت بالا در اجرای شبیه سازی و حصول مجموعه جواب در مقایسه با بهینه بودن جوابها اهمیت چندانی نخواهد داشت. بر این اساس اگرچه MOPSO بسیار سریع عمل کرده است، بهینه بودن و توزیع مناسب مجموعه جواب NSGA-II در مورد سیستم تست ۳۰ باسه مovid برتری این الگوریتم بر MOPSO در مساله تعیین مکان و اندازه بهینه ادوات FACTS می‌باشد.

۷- نتیجه گیری

در این مقاله دو الگوریتم بهینه سازی چند هدفه استفاده شده اند تا مکان و اندازه بهینه ادوات FACTS همراه با مقدار تغییر در توان اکتیو تولیدی ژنراتورها به نحوی تعیین شوند که تراکم حذف و هزینه‌ها به حداقل برسد. شبیه سازی‌ها روی دو سیستم تست ۱۴ و ۳۰ باسه تغییر یافته IEEE انجام شده است. به منظور شبیه سازی شرایط تراکم در شبکه، تمام بارها به طور یکنواخت افزایش یافته است. هر جواب از مجموعه‌های بهینه



- intelligence techniques for optimal location and parameter setting of UPFC", Engineering Applications of Artificial Intelligence, Vol. 30, pp. 203-216, 2010.
- [15] M. Gitizadeh, and M. Kalantar, "A New Approach for Congestion Management via Optimal Location of FACTS Devices in Deregulated Power Systems", International Conference on Electric Deregulation and Restructuring and Power Technologies, pp. 1592-1597, 2008.
- [16] Y. C. Chang, R. F. Chang, T. Y. Hsiao, and C. N. Lu, "Transmission System Load ability Enhancement Study by Ordinal Optimization Method", IEEE Trans. Power Systems, Vol. 26, no. 1, pp. 451-459, Feb 2011.
- [17] S. Rahimzadeh and M. Tavakoli, "Looking for optimal number and placement of FACTS devices to manage the transmission congestion", Energy Conversion and Management, Vol. 52, pp. 437-446, 2011.
- [18] A. Berizzi, C. Bovo, V. Ilea, "Optimal placement of FACTS to mitigate congestions and inter-area oscillations", IEEE Conf. on Power Tech., pp. 1-8, 2011.
- [19] R. M. Idris, A. Kharuddin, and M. W. Mustafa, "Optimal Choice of FACTS Devices for ATC Enhancement using Bees Algorithm", Power Engineering Conf. , pp. 1-6, 2009.
- [۲۰] سید عباس طاهر، اکرم شاهقیان "جایابی بهینه منابع تولید پردازندۀ به همراه SSVR در شبکه های توزیع با استفاده از الگوریتم تکاملی ایمنی"، نشریه مهندسی برق و الکترونیک ایران، سال ۱۱، شماره ۱، بهار و تابستان ۱۳۹۳
- [21] P. Zhang, C. Rehtanz, B. Pal, Flexible AC Transmission Systems: Modeling and Control, Springer, Berlin, pp. 319-329, 2006.
- [22] K. Deb, A. Pratap, S. Agarwal, and T. Meyarivan, "A Fast and Elitist Multi-Objective Genetic Algorithm: NSGA-II", IEEE Trans. Evolutionary Computation, Vol. 6, no. 2, pp. 182-197, Apr 2002.
- [23] C. A. C. Coello, G. T. Pulido, M. S. Lechuga, "Handling Multiple Objectives With Particle Swarm Optimization", IEEE Trans. Evolutionary Computation, Vol. 8, no. 3, pp. 256-279, Jun 2004.
- [24] M. Bavafa, N. Navidi, S. Hessami, and B. A. Parsa, "A New Approach for Security Constrained Congestion Management using SSSC with Ant Colony Search Algorithm", Asia-Pacific IEEE Power and Energy Engineering Conf., pp. 1-5, 2010.
- [25] A. J. Wood, B. F. Wollenberg, Gerald B. Sheble Power Generation, Operation and Control, 3rd edition, John Wiley & Sons, 2013.
- [26] L. J. Cai, I. Erlich, G. Stamtsis, "Optimal Choice and Allocation of FACTS Devices in Deregulated Electricity Market using Genetic Algorithms", Power System Conference and Exposition, pp. 201-207, 2004.
- [27] Y. Lu, J. Zhou, H. Qin, Y. Wang and Y. Zhang, "Environmental/economic dispatch problem of FACTS Devices, International Journal of Computer Applications, Vol. 13, No. 8, pp. 19-22, 2011.
- [3] H. Besharat and S. A. Taher, "Congestion Management by Determining Optimal Location of TCSC in Deregulated Power Systems", Electrical Power and Energy Systems, Vol. 30, No. 10, pp. 563-568, 2008.
- [4] J.Sridevi, J.Amarnath, G.Govinda Rao, "Impact of FACTS Devices on Zonal Congestion Management in Deregulated Power System", Innovative Systems Design and Engineering, Vol. 3, No 1, 2012.
- [5] S. Dutta, S. P. Singh, "Optimal Rescheduling of Generators for Congestion Management Based on Particle Swarm Optimization", IEEE Trans. Power Systems, Vol. 23, no. 4, pp. 1560-1569, Nov 2008.
- [6] M. A. Paqaleh, A. R. Noori, "Transmission Congestion Management Using Distributed Generation considering Load Uncertainty", Power and Energy Engineering Conf. , pp. 1-4, 2010.
- [7] M. A. Paqaleh, A. A. Abbaspour, M. Rashidinejad, and K. Y. Lee, "Optimal Placement and Sizing of Distributed Resources for Congestion Management Considering Cost/Benefit Analysis", Power and Energy Society General meeting, 2010, pp. 1-7.
- [8] M. Khanabadi, M. Doostzadeh, A. Esmaeilian, and M. Mohseninezhad "Transmission Congestion Management through Optimal Distributed Generation's Sizing and Placement", International Conference on Environment and Electrical Engineering, pp. 1-4, 2011.
- [9] N. Kumar, P. Dutta, and L. Xie, "Optimal DG Placement for Congestion Mitigation and Social Welfare Maximization", North American Power Symposium, pp. 1-5, 2011.
- [10] R. S. Wibovo, N. Yorino, M. Eghbal, Y. Zoka and Y. Sosaki, "FACTS Devices Allocation with Control Coordination Considering Congestion Relief and Voltage Stability", IEEE Trans. Power System, Vol. 26, no. 4, pp. 2302-2310, Nov 2011.
- [11] S. S. Reddy, M. S. Kumari, and M.. Sydulu, "Congestion Management in Deregulated Power System by Optimal Choice and Allocation of FACTS Controllers using Multi-Objective Genetic Algorithm", IEEE PES Transmission and Distribution Conf., pp. 1-7, 2010.
- [12] N. A. Hosseini poor and M. H. Nabavi, "Social Welfare Maximization by Optimal Locating and Sizing of TCSC for Congestion Management in Deregulated Power Market", International Conference on Power system Technology, pp. 1-5, 2010.
- [13] R. S. Wibovo, N. Yorino, M. Eghbal, Y. Zoka and Y. Sosaki, "FACTS Devices Allocation for Congestion Management Considering Voltage Stability by means of MOPSO", IEEE Transmission and Distribution Conf., pp. 1-4, 2009.
- [14] H. I. Shahin, G. I. Rashed and S. J. Cheng, "Application and comparison of computational

power system by using an enhanced multi-objective differential evolution algorithm", Energy Conversion and Management, Vol. 52, pp. 1175-1183, 2011.

